



UNIVERSIDAD TECNICA
FEDERICO SANTA MARIA



Proyecto: EDP

Resolución de la Ecuación de Calor en una Placa Plana en Estado Transiente

Computación Científica

IMP-458 - 2022

Departamento Ing. Mecánica UTFSM

Martín Achondo Mercado

Rol: 201860005-9

Profesor: Franco Perazzo M.

18 de Agosto de 2022

Resumen

En este trabajo se resolvió la ecuación de calor transiente en una placa rectangular bajo ciertas condiciones de borde. Para su resolución se utilizaron diferencias finitas con esquemas de Euler Explícito y de Crank-Nicolson bajo distintas mallas espaciales y temporales. Del resultado de las modelaciones se obtuvo que a simple vista los distintos esquemas, mientras converjan, no generan diferencias notorias. De esta manera, ambos logran reproducir la evolución de la distribución de la temperatura y el flujo de calor en la placa. De todas formas, el método de Crank-Nicolson bajo mallas más finas logran residuales menores y por ende, mayor convergencia. Al alcanzar el estado estacionario, las soluciones de ambos esquemas fueron comparados con los obtenidos por parte del software comercial de ANSYS y el código adjunto en la publicación de P. Beckers y B. Beckers [4] bajo elementos finitos. Con esto, se obtuvo distribuciones similares en donde la temperatura máxima de la placa no variaba más de 4 %. A partir de las modelaciones, se estima que el estado estacionario se alcanzaría en 54000 segundos aproximadamente.

Índice

1. Introducción	3
1.1. Presentación del Problema	3
2. Metodología	4
2.1. Discretización	4
2.1.1. Condiciones de Borde	5
2.1.2. Esquema Euler Explícito	6
2.1.3. Esquema Euler Crank Nicolson	7
2.2. Modelación	8
3. Resultados	8
3.1. Residuales	8
3.2. Evolución de la Solución	9
3.3. Estado Estacionario	10
3.3.1. Evaluación Esquema	11
4. Análisis de Resultados	11
5. Conclusión	12
6. Referencias	13
7. Anexos	14
7.1. Código Implementado	14

1. Introducción

En este trabajo se modelará la transferencia de calor en una placa rectangular. El propósito es encontrar la distribución de temperaturas en diversos instantes de tiempo junto al flujo de calor. Para esto, se discretizará con diferencias finitas la ecuación de calor con un esquema de Euler Explícito y de Crank-Nicolson para evaluar las variaciones respecto a los pasos temporales y espaciales. Además, se resolverá el mismo problema utilizando el software comercial de ANSYS y el código adjunto en la publicación de P. Beckers y B. Beckers [4] con elementos finitos. De esta manera se podrá comparar y validar la solución obtenida.

1.1. Presentación del Problema

Se tiene una placa rectangular de 2×1 [m] calentada en la parte superior e inferior con un flujo de calor constante de $q = 10$ [kW/m²] desde un instante inicial en que toda la placa está a una temperatura $T = 0$ [°C]. Además, la placa tiene zonas en la que se encuentra térmicamente aislada y en los bordes laterales una condición de temperatura fija de $T = 0$ [°C]. Una mejor representación se visualiza en la siguiente imagen:

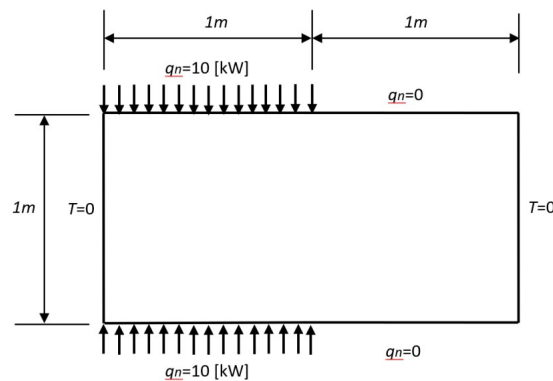


Figura 1: Placa a modelar

Las constantes características del material son: $\rho = 8862$ [kg/m³], $k = 100$ [W/m°C] y $c_p = 421$ [J/kg°C].

Dicho esto, para el problema se pide:

1. Resolver el problema de transferencia de calor bidimensional transiente utilizando un esquema de Euler Explícito. Para ello se pide utilizar espaciamientos espaciales $\Delta x = \Delta y$ de 2 y 10 [cm].
2. Comparar los resultados al resolver el problema de transferencia de calor bidimensional transiente utilizando un esquema de Crank-Nicolson.
3. Estimar el tiempo necesario para que el sistema alcance un estado estacionario.

4. Comparar los resultados con los obtenidos al resolver el problema utilizando el método de elementos finitos en el software de ANSYS.
5. Comparar los resultados con los obtenidos al resolver el problema utilizando el método de elementos finitos programado por los autores P. Beckers y B. Beckers en [4].

2. Metodología

En este problema se pide resolver la ecuación de calor en una placa rectangular. Para simplificar el problema, se considerará una transferencia de calor bidimensional, propiedades de los materiales constantes y la no existencia de generación de energía. Dado esto, la ecuación con sus condiciones de borde e iniciales se puede plantear como:

$$\frac{\partial T}{\partial t} = \alpha \left(\frac{\partial^2 T}{\partial x^2} + \frac{\partial^2 T}{\partial y^2} \right) \quad 0 \leq x \leq 2 \quad 0 \leq y \leq 1 \quad t \geq 0 \quad (1)$$

$$\left\{ \begin{array}{l} T(x, y, 0) = 0 \quad 0 \leq x \leq 2 \quad 0 \leq y \leq 1 \quad t = 0 \\ -k \frac{\partial T}{\partial y} = q_w \quad 0 \leq x \leq 1 \quad y = 0 \quad t \geq 0 \\ -k \frac{\partial T}{\partial y} = 0 \quad 1 < x \leq 2 \quad y = 0 \quad t \geq 0 \\ T(2, y, t) = 0 \quad x = 2 \quad 0 \leq y \leq 1 \quad t \geq 0 \\ -k \frac{\partial T}{\partial y} = -q_w \quad 0 \leq x \leq 1 \quad y = 1 \quad t \geq 0 \\ -k \frac{\partial T}{\partial y} = 0 \quad 1 < x \leq 2 \quad y = 1 \quad t \geq 0 \\ T(0, y, t) = 0 \quad x = 0 \quad 0 \leq y \leq 1 \quad t \geq 0 \end{array} \right.$$

En donde se resolverá para la función $T = T(x, y, t)$. En la ecuación α, k, q_w hacen referencia a la difusividad térmica, conductividad térmica y al flujo de calor en la pared respectivamente. Notar la existencia de condiciones de borde de Dirichlet en las paredes laterales y Neumann en la superior e inferior.

2.1. Discretización

La ecuación 1 se resolverá numéricamente utilizando 2 esquemas de discretización para obtener la distribución de temperatura a lo largo de la placa para distintos instantes de tiempo por el método de diferencias finitas. Así, se podrá comparar el orden de convergencia de cada esquema. Se utilizará el

mismo espaciamento espacial $\Delta = \Delta x = \Delta y$. La cantidad de nodos espaciales entonces será:

$$\begin{aligned} N_x &= \frac{\ell_x}{\Delta x} + 1 \\ N_y &= \frac{\ell_y}{\Delta y} + 1 \end{aligned} \quad (2)$$

De esta manera, se tendrán $N_x \times N_y$ nodos espaciales, con: $i = 1, 2, 3, \dots, N_x - 1, N_x$ y $j = 1, 2, 3, \dots, N_y - 1, N_y$. El paso temporal será Δt , por lo que la cantidad de pasos temporales contando el instante inicial será de:

$$N_t = \frac{t_f}{\Delta t} + 1 \quad (3)$$

Por otra parte, un número adimensional importante que tiene relación con la discretización del problema es el número de Fourier, que puede ser definido en cada dirección $k = x, y$ como:

$$\sigma_k = \alpha \frac{\Delta t}{\Delta x_k^2} \quad (4)$$

Para todos los esquemas a presentar, se discretizará la segunda derivada de la temperatura respecto al espacio como:

$$\begin{aligned} \frac{\partial^2 T}{\partial x^2} &= \frac{T_{i-1j} - 2T_{ij} + T_{i+1j}}{\Delta x^2} + \mathcal{O}(\Delta x^2) \\ \frac{\partial^2 T}{\partial y^2} &= \frac{T_{ij-1} - 2T_{ij} + T_{ij+1}}{\Delta y^2} + \mathcal{O}(\Delta y^2) \end{aligned} \quad (5)$$

2.1.1. Condiciones de Borde

Para las condiciones de borde se utilizarán los siguientes esquemas:

- Dirichlet: Simplemente se fija la temperatura en los nodos laterales:

$$T_{1j} = 0 \quad ; \quad T_{N_x, j} = 0$$

- Neumann: Se discretiza el calor con diferencias centradas en la pared superior e inferior:

$$q_{i1} = -k \frac{T_{i2} - T_{i0}}{\Delta y} \quad ; \quad q_{iN_y} = -k \frac{T_{iN_y+1} - T_{iN_y-2}}{\Delta y} \quad (6)$$

Así, se despeja T_{i0} o T_{iN_y+1} (nodos no existentes) y se reemplaza en la EDP para obtener ecuaciones adicionales. Estas obtenidas serán presentadas en las secciones siguientes. Notar que si la pared está aislada basta reemplazar $q = 0$.

2.1.2. Esquema Euler Explícito

Discretiza la ecuación de calor utilizando los valores en el paso anterior. Así, la ecuación queda como:

$$\frac{T^{n+1} - T^n}{\Delta t} = f(t^n, T^n) \quad (7)$$

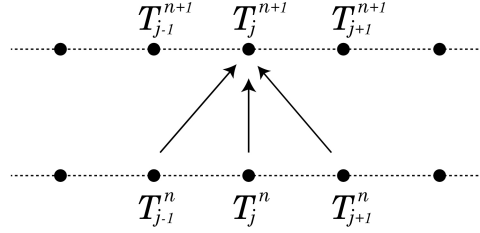


Figura 2: Esquema de discretización Euler Explícito

Reemplazando las derivadas espaciales se obtiene:

$$\frac{T_{ij}^{n+1} - T_{ij}^n}{\Delta t} = \alpha \left(\frac{T_{i-1j}^n - 2T_{ij}^n + T_{i+1j}^n}{\Delta x^2} + \frac{T_{ij-1}^n - 2T_{ij}^n + T_{ij+1}^n}{\Delta y^2} \right) \quad (8)$$

Despejando T^{n+1} se forman las siguientes ecuaciones para cada nodo interior ij . Con esto, el método queda con orden $\mathcal{O}(\Delta x^2, \Delta y^2, \Delta t)$, primer orden en tiempo y segundo en espacio.

$$T_{ij}^{n+1} = T_{ij}^n + \sigma (T_{i-1j}^n + T_{i+1j}^n + T_{ij-1}^n + T_{ij+1}^n - 4T_{ij}^n) \quad (9)$$

En donde $\sigma = \sigma_x = \sigma_y$. Un detalle importante sobre esta discretización es que es condicionalmente estable. Para su estabilidad se debe asegurar lo siguiente respecto al número de Fourier:

$$\alpha \frac{\Delta t}{\Delta x^2} + \alpha \frac{\Delta t}{\Delta y^2} = 2\sigma < \frac{1}{2} \quad (10)$$

Así, se necesita un valor de $\sigma = 1/4$. A esto se le llama a la condición CFL para difusión. Dada la utilización de nodos “fantasmas” para discretizar la condición de borde, las ecuaciones en los bordes inferior y superiores se modifican de la siguiente manera completando el sistema:

$$\begin{aligned} T_{i1}^{n+1} &= T_{i1}^n + \sigma (T_{i-11}^n + T_{i+11}^n + 2T_{i2}^n - 4T_{i1}^n - \theta q_w) \\ T_{iN_y}^{n+1} &= T_{iN_y}^n + \sigma (T_{i-1N_y}^n + T_{i+1N_y}^n + 2T_{iN_y-1}^n - 4T_{iN_y}^n - \theta q_w) \end{aligned} \quad (11)$$

En donde $\theta = -2\Delta/k$. En las ecuaciones presentadas cuando algún nodo hace referencia a una esquina o nodo lateral, basta reemplazar la condición de Dirichlet presentada.

2.1.3. Esquema Euler Crank Nicolson

Discretiza la ecuación de calor utilizando los valores del paso anterior y actual. Así, la ecuación queda como:

$$\frac{T^{n+1} - T^n}{\Delta t} = \frac{1}{2} (f(t^{n+1}, T^{n+1}) + f(t^n, T^n)) \quad (12)$$

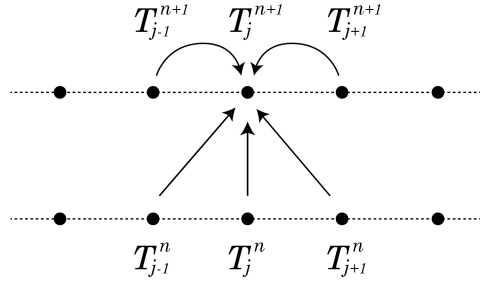


Figura 3: Esquema de discretización Crank Nicolson

Reemplazando las derivadas espaciales se obtiene:

$$\begin{aligned} \frac{T_j^{n+1} - T_j^n}{\Delta t} = \frac{\alpha}{2} & \left(\frac{T_{i-1j}^{n+1} - 2T_{ij}^{n+1} + T_{i+1j}^{n+1}}{\Delta x^2} + \frac{T_{ij-1}^{n+1} - 2T_{ij}^{n+1} + T_{ij+1}^{n+1}}{\Delta y^2} + \right. \\ & \left. + \frac{T_{i-1j}^n - 2T_{ij}^n + T_{i+1j}^n}{\Delta x^2} + \frac{T_{ij-1}^n - 2T_{ij}^n + T_{ij+1}^n}{\Delta y^2} \right) \end{aligned} \quad (13)$$

Despejando T^{n+1} se forman las siguientes ecuaciones para cada nodo interior ij . Con esto, el método queda con orden $\mathcal{O}(\Delta x^2, \Delta y^2, \Delta t^2)$, segundo orden en espacio y tiempo.

$$\begin{aligned} -\mu T_{i+1j}^{n+1} + (1 + 4\mu)T_{ij}^{n+1} - \mu T_{i-1j}^{n+1} - \mu T_{ij+1}^{n+1} - \mu T_{ij-1}^{n+1} &= \mu T_{i+1j}^n + (1 - 4\mu)T_{ij}^n + \\ &+ \mu T_{i-1j}^n + \mu T_{ij+1}^n + \mu T_{ij-1}^n \end{aligned} \quad (14)$$

En donde $\mu = \sigma/2$. Notar que se forma un sistema de ecuaciones para obtener las temperaturas en el paso siguiente. Para resolverlo se utilizará el método de Gauss-Seidel con factor de relajación $\lambda = 0.5$. Se prefiere este método dado que para grandes cantidades de nodos un método directo puede ser muy costoso y por ende un método iterativo podría resolverlo de manera más rápida. Además, como vector de partida se utiliza el paso anterior, el cual debería estar cerca del paso siguiente. Adicionalmente para este sistema de ecuaciones se necesita convertir la matriz de temperatura en un vector para resolver el sistema lineal. Así, la matriz queda de $(N_x - 2)(N_y) \times (N_x - 2)(N_y)$.

Dada la utilización de nodos “fantasmas” para discretizar la condición de borde, las ecuaciones en los bordes inferior y superiores se modifican de la siguiente manera completando el sistema:

$$\begin{aligned}
& -\mu T_{i+1,1}^{n+1} + (1 + 4\mu)T_{i1}^{n+1} - \mu T_{i-1,1}^{n+1} - 2\mu T_{i2}^{n+1} = \mu T_{i+11}^n + (1 - 4\mu)T_{i1}^n + \\
& \quad + \mu T_{i-11}^n + 2\mu T_{i2}^n - 2\mu\theta q_w \\
& -\mu T_{i+1N_y}^{n+1} + (1 + 4\mu)T_{iN_y}^{n+1} - \mu T_{i-1N_y}^{n+1} - 2\mu T_{iN_y-1}^{n+1} = \mu T_{i+1N_y}^n + (1 - 4\mu)T_{iN_y}^n + \\
& \quad + \mu T_{i-1N_y}^n + 2\mu T_{iN_y-1}^n - 2\mu\theta q_w
\end{aligned} \tag{15}$$

En las ecuaciones presentadas cuando algún nodo hace referencia a una esquina o nodo lateral, basta reemplazar la condición de Dirichlet presentada y por tanto se modifica la matriz dado que no es incógnita. También, si se en el nodo está el aislamiento reemplazar $q_w = 0$.

2.2. Modelación

Ambos esquemas presentados serán utilizados bajo distintas mallas ($\Delta x = \Delta y = 2, 5, 10$ [cm]; $\Delta t = 1, 10, 100$ [s]) para resolver el problema presentado. Para ambos esquemas se calculará el residual de la ecuación en cada iteración para evaluar la convergencia. Además, si la diferencia: $\max_{ij}(T_{ij}^{n+1} - T_{ij}^n) < 0.0001$ se considerará que el estado estacionario fue alcanzado. En los resultados además se presentará el calor neto normal en cada nodo de la placa calculado mediante diferencias finitas centradas y adelantadas o atrasadas en los bordes (orden 2). Se utilizará el software de ANSYS transiente y estacionario por medio de elementos finitos para obtener la evolución y su estado final. Se comparará lo obtenido con el código de elementos finitos publicado en [4] para la parte simétrica.

3. Resultados

3.1. Residuales

Se evalúan residuales para distintos esquemas y mallas los cuales se presentan en el gráfico respecto al tiempo:

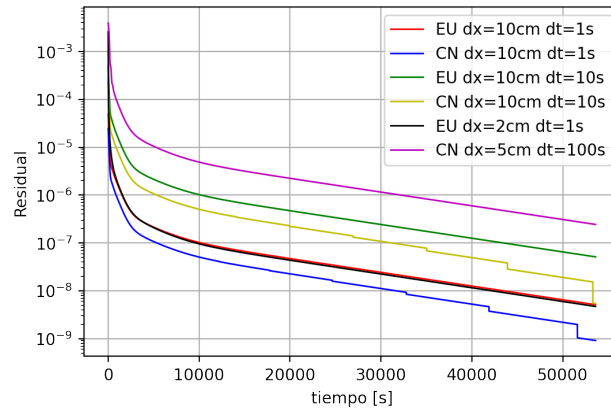


Figura 4: Evolución del residual para distintos esquemas

3.2. Evolución de la Solución

Se presenta la distribución para tiempos de 0, 1000, 4000, 10000, 20000 y 60000. Los resultados a presentar fueron realizas con una malla de $\Delta x = \Delta y = 2$ [cm] y $\Delta t = 1$ [s] mediante el esquema de Euler Explícito. De todas formas los resultados a simple vista son iguales al variar el esquema bajo esta misma malla. Las temperaturas en la placa se interpolaron para obtener una vista “suave” de la distribución.

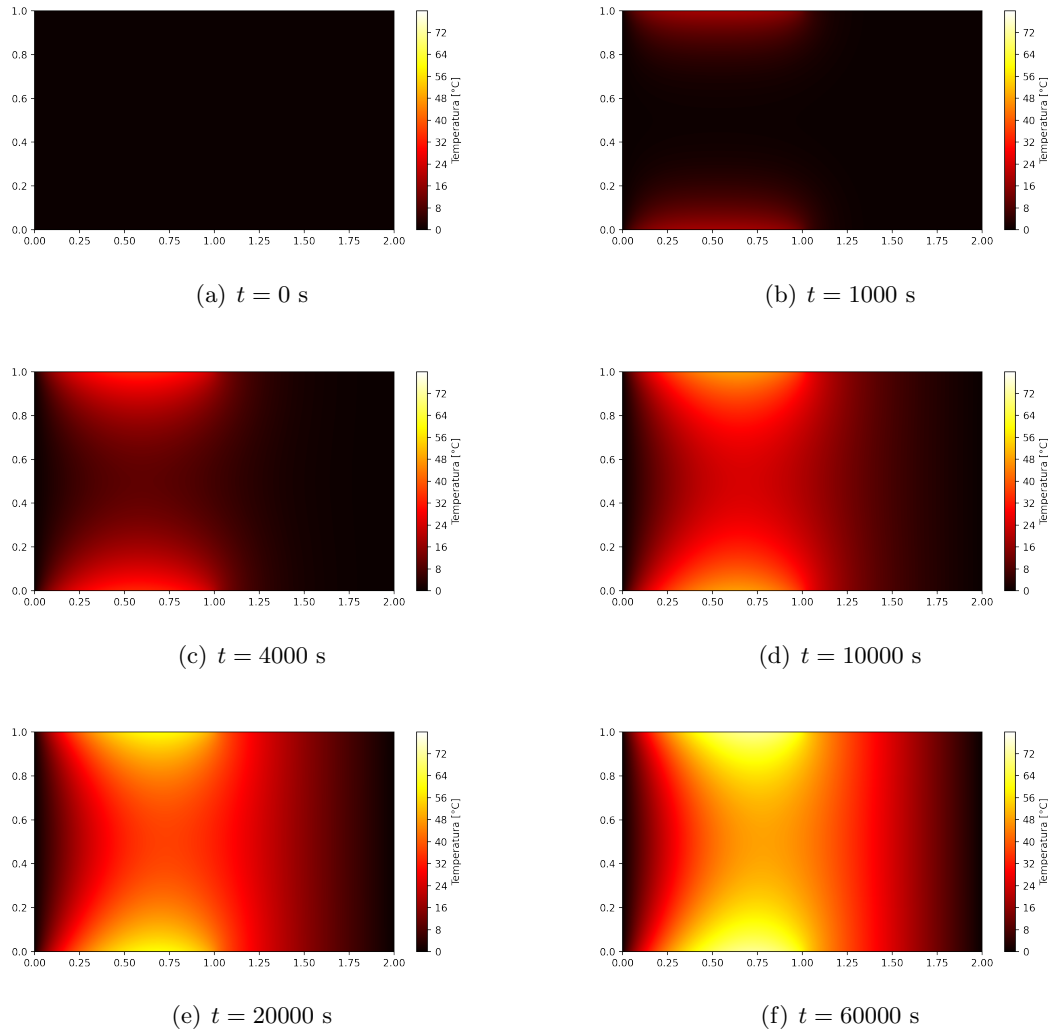


Figura 5: Evolución de la temperatura en la placa

3.3. Estado Estacionario

Se muestra la distribución de temperatura y flujo de calor para el estado estacionario para los códigos elaborados y el software de ANSYS.

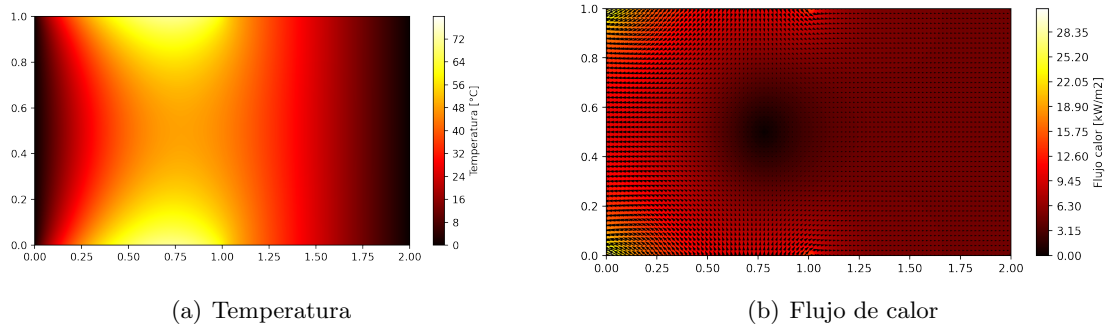


Figura 6: Temperatura y flujo de calor en la placa para estado estacionario con código propio

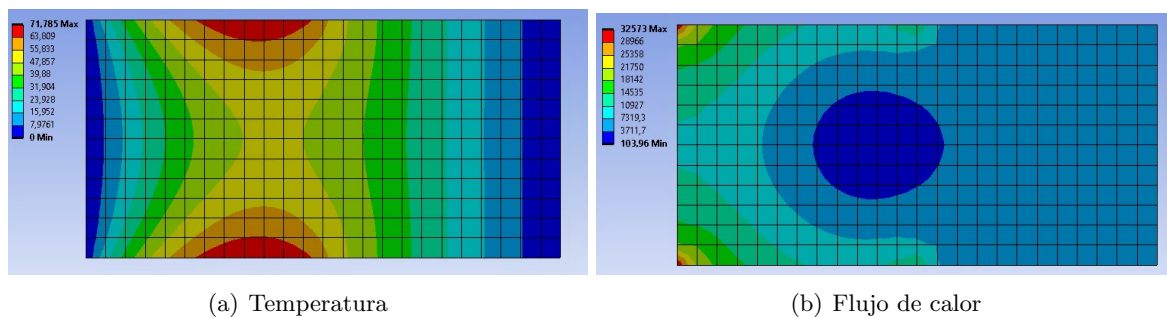


Figura 7: Temperatura y flujo de calor en la placa para estado estacionario con ANSYS

Se adjunta la temperatura del borde de la parte simétrica de la placa obtenido por el código propio y el adjuntado en [4] por medio de elementos finitos.

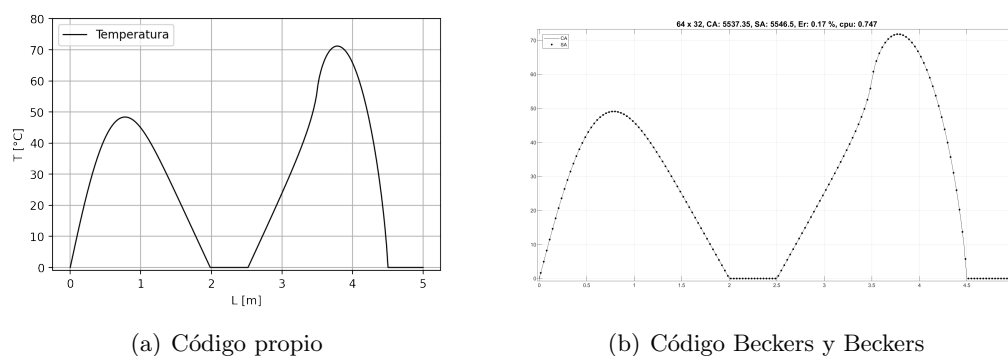


Figura 8: Temperatura en el borde de parte simétrica

3.3.1. Evaluación Esquema

Tabla 1: Resultados por cada esquema

Método	$\Delta x = \Delta y$ [cm]	Δt [s]	Tiempo estacionario [s]	Temperatura máxima [°C]
Euler Explícito	10	1	54604	73.877
Euler Explícito	10	10	89480	75.091
Euler Explícito	2	1	53616	71.204
Crank-Nicolson	10	1	54605	73.877
Crank-Nicolson	10	10	89500	75.091
Crank-Nicolson	5	100	123700	73.681
ANSYS	10	-	-	71.785
MEF	3.125	-	-	71.791

4. Análisis de Resultados

Con los resultados obtenidos se nota que para ambos esquemas se obtuvo una solución aproximada que concuerda con la física. A medida que avanza el tiempo, las paredes en donde se encuentra el flujo constante de calor de 10 [kW] comienzan a calentar la placa de manera simétrica, fig. 5. Esta aumento de temperatura se difunde a través de la placa generando las distribuciones presentadas. Los esquemas de Euler Explícito y de Crank-Nicolson no generan mucha diferencia. Los gifs generados por medio del código propio y el software de ANSYS se comportan de manera similar. Con este último no se alcanzó el estado estacionario dado su alto costo computacional. Ya en el caso estacionario, si se comparan las figuras 6 y 7 (código y ANSYS) se visualizan distribuciones de temperaturas y flujos de calor similares. Notar que la transferencia de calor es máxima en las esquinas izquierdas dada las condiciones de borde existentes. De la misma forma, comparando con los resultados obtenidos por Beckers y Beckers, fig. 8, la temperatura en el borde de la parte simétrica se comporta de la misma forma.

Para una mejor evaluación de los esquemas, se presenta la tabla 1 en donde se compara la temperatura máxima obtenida y el tiempo necesario para llegar al criterio de estado estacionario presentado en la metodología. Se nota que a través de ANSYS y el código de elementos finitos se obtiene una temperatura máxima muy similar (variación de 0.008%) de aproximadamente 71.79 [°C]. En esta tabla no se presenta para estos métodos un tiempo para el estado estacionario dado que ambos se resolvieron para obtener la solución estacionaria directamente. Respecto a los esquemas, se obtienen diferencias para la temperatura máxima de alrededor de 1 a 4 [°C], lo que lleva a variaciones de 1% a 3%, el cual es pequeño. Sin embargo, una diferencia notoria es el tiempo para alcanzar el estado estacionario. Pareciera darse que al utilizar mallas más gruesas en el espacio y tiempo, el tiempo para alcanzar el estado estacionario aumenta. Si bien las modelaciones se veían bien, esto se puede deber a un simple nodo en el cual la convergencia está siendo más lenta. Para las mallas más finas se obtiene un tiempo aproximado de 54000 segundos, lo que equivale a 15 horas. Se considera este como el “real” dado que se espera que una malla fina tenga un mejor orden de convergencia.

Continuando con lo anterior, en la figura 4 se nota como los residuales de la ecuación de calor varían con el paso del tiempo. Además, se nota que para las mallas más finas el residual siempre es menor al resto. El método de Crank-Nicolson con $\Delta x = 10$ [cm] y $\Delta t = 1$ [s] pareciera converger mejor que los métodos de Euler Explícito con $\Delta x = 2$, $\Delta x = 10$ [cm] y $\Delta t = 1$ [s] dado su mayor orden. Lo obvio se nota que al hacer más gruesas las mallas (espacio y tiempo), estos residuales tienden a aumentar. Algo interesante de mencionar es que el método de Crank-Nicolson es bastante sensible a la tolerancia impuesta en el método de Gauss-Seidel y al parecer por esto se producen esos escalones en los residuales, producto de algún tipo de error de redondeo y truncación.

Por último, se menciona que el método de Euler Explícito tiene un costo computacional mucho menor al método de Crank-Nicolson. Este último demora bastante en modelar para mallas espaciales muy finas y por esto se presenta como mínimo una malla con espaciamiento de 5 [cm]. De todas formas, su ventaja recae en que se pueden utilizar pasos temporales grandes, ejemplo de 100 [s] con el cual los resultados y residuales parecen no estar muy alejados. Una mejora que se puede implementar para hacer más eficiente el código es evitar crear la matriz del sist. lineal y utilizar un algoritmo parecido al método de Thomas para sistemas tridiagonales por bloques para la resolución en cada paso temporal.

5. Conclusión

Para finalizar, se nota que con los esquemas presentados se pudo modelar la distribución de temperatura en la placa para el estado transiente. La utilización de cada uno depende del objetivo y la precisión necesaria. El método de Euler termina siendo más rápido pero condicionalmente estable, por lo que diverge si no se selecciona una malla adecuada. El método de Crank-Nicolson permite utilización de mallas gruesas dado su carácter de estabilidad incondicional, permitiendo utilizar pasos temporales grandes a costa de su alto costo computacional. Se obtuvo que mientras más fina la malla los residuales terminan siendo menores y por ende, un mayor grado de convergencia. De todas formas, todas las mallas utilizadas logran representar la evolución temporal. Para una mayor eficiencia se podría haber resuelto para la mitad de la placa dada la simetría existente.

Ambos esquemas fueron comparados al alcanzar la solución estacionaria con el software de ANSYS y el código de elementos finitos presentado en [4]. Las temperaturas máximas presentadas no tienen variaciones mayores a 4% y las distribuciones se ven muy similares. Esto de alguna forma valida el trabajo realizado al compararlo con la literatura existente. Por otra parte, de lo obtenido se estima que en 54000 segundos aproximadamente la placa alcanza el estado estacionario (bajo el criterio planteado). El variar la malla a una más gruesa puede generar variaciones en este tiempo de más del 100%.

Por último, en este trabajo se refleja la importancia de los métodos numéricos dado que sirven para modelar cualquier situación real. Su conocimiento permite una buena selección, implementación y validación del resultado obtenido cuando se programa el método o se utiliza un software comercial.

6. Referencias

- [1] Steven C. Chapra Raymond P. Canale. (2007). *Métodos numéricos para ingenieros*. The McGraw-Hill.
- [2] Quarteroni A. Sacco, R. Saleri, F. (2000). *Numerical Mathematics*. Springer
- [3] Cengel, Y. (2007). *Transferencia de Calor y Masa*. 3^a Edición.
- [4] Beckers, P. Beckers, B. (2015) *A 66 line heat transfer finite element code to highlight the dual approach*. Computers and Mathematics with Applications.
- [5] ANSYS INC. (2009) *Theory Reference*. Release 15.0.

7. Anexos

7.1. Código Implementado

Se presenta el código programado para la resolución:

Código 1: Programa con esquemas de Euler Explícito y Crank-Nicolson para la resolución de la ecuación de calor.

```

1  ! Programa para resolver la ecuacion de calor
2
3  program main
4      implicit none
5      integer :: Nx,Ny,tout,nt
6      real(8) :: time_f,d_time,dx,dy,Lx,Ly,q
7      real(8), allocatable, dimension(:,:) :: Temperature_f,Temperature_i,qn,qx,
8          qy
9      real(8), allocatable, dimension(:) :: Res
10     real(8) :: alpha,k,sigma,theta,cp,rho,sigma2
11     character(25) :: file_T_eu,file_T_cn,file_qxeu,file_qyeu,file_q_cn,
12         file_q_eu,file_qxcn,file_qycn,file_reseu,file_rescn
13     logical :: euler,crank,flag_results
14
15     ! Codigo exporta los siguientes archivos con resultados
16
17     file_T_eu = 'Results_T_eu.txt'
18     file_T_cn = 'Results_T_cn.txt'
19     file_q_eu = 'Results_q_eu.txt'
20     file_q_cn = 'Results_q_cn.txt'
21     file_qxeu = 'Results_qx_eu.txt'
22     file_qyeu = 'Results_qy_eu.txt'
23     file_qxcn = 'Results_qx_cn.txt'
24     file_qycn = 'Results_qy_cn.txt'
25     file_reseu = 'Residual_eu.txt'
26     file_rescn = 'Residual_cn.txt'
27
28     k = 100.0d0
29     cp = 421.0d0
30     rho = 8862.0d0
31     alpha = k/(cp*rho)
32     q = 1.0d4
33
34     time_f = 60000
35     d_time = 1
36     tout = 1000
37     nt = floor(time_f/d_time)+1
38     dx = 0.1d0
39     dy = dx
40     Lx = 2d0
41     Ly = 1d0
42
43     sigma = alpha*d_time/(dx**2)
44     sigma2 = 2*sigma
45     theta = -2*dx/k

```

```

45     Nx = floor(Lx/dx) + 1
46     Ny = floor(Ly/dy) + 1
47     allocate (Temperature_i(Ny,Nx))
48     allocate (Temperature_f(Ny,Nx))
49     allocate (qn(Ny,Nx))
50     allocate (qx(Ny,Nx))
51     allocate (qy(Ny,Nx))
52     allocate (Res(nt))
53
54     Temperature_i = 0
55
56     write(*,*)
57     write(*,*) "Codigo resolucioe ecuacion de calor placa"
58     write(*,*)
59     write(*,*) "Propiedades (k,alpha,rho,cp)"
60     write(*,*(F7.1,ES12.4,F8.1,F7.1)) k,alpha,rho,cp
61     write(*,*) "Numero de Fourier: ",sigma2
62     write(*,*) "Nodos (Nx,Ny):",Nx,Ny
63     write(*,*) "Espaciamientos (dt,dx=dy)"
64     write(*,*(2F10.5)) d_time,dx
65
66     write(*,*)
67     write(*,*)
68
69     call system('mkdir eu_rtxt')
70     call system('mkdir cn_rtxt')
71     call system('mkdir results')
72
73     write(*,*)
74
75     ! Condiciones para correr esquemas
76     euler = .true.
77     crank = .true.
78
79     ! Condicion para imprimir los resultados cada tout
80     flag_results = .false.
81
82     if (euler) then
83         write(*,*)
84         write(*,*)
85         write(*,*) "----- EULER EXPLICITO -----"
86         write(*,*)
87
88         call Euler_Explicito(Nx,Ny,Temperature_i,Temperature_f,d_time,time_f,
89             sigma,q,theta,tout,flag_results,Res,nt)
90         call WriteFile(Nx,Ny,Temperature_f,file_T_eu,.true., 'results/')
91         call Calculate_Heat(Nx,Ny,Temperature_f,qn,theta,q,qx,qy)
92         call WriteFile(Nx,Ny,qn,file_q_eu,.true., 'results/')
93         call WriteFile(Nx,Ny,qx,file_qxeu,.true., 'results/')
94         call WriteFile(Nx,Ny,qy,file_qyeu,.true., 'results/')
95         call WriteFile2(nt,Res,file_reseu,.true., 'results/')
96
97     end if
98
99     if (crank) then

```



```

99      write(*,*)
100     write(*,*)
101     write(*,*) "----- CRANK NICOLSON -----"
102     write(*,*)
103
104     call Crank_Nicolson(Nx,Ny,Temperature_i,Temperature_f,d_time,time_f,
105                        sigma,q,theta,tout,flag_results,Res,nt)
106     call WriteFile(Nx,Ny,Temperature_f,file_T_cn,.true., 'results/')
107     call Calculate_Heat(Nx,Ny,Temperature_f,qn,theta,q,qx,qy)
108     call WriteFile(Nx,Ny,qn,file_q_cn,.true., 'results/')
109     call WriteFile(Nx,Ny,qn,file_qxcn,.true., 'results/')
110     call WriteFile(Nx,Ny,qn,file_qycn,.true., 'results/')
111     call WriteFile2(nt,Res,file_rescn,.true., 'results/')
112 end if
113
114 write(*,*)
115 write(*,*)
116 write(*,*)
117 end program main
118
119
120 !===== Euler Explicito =====!
121
122 subroutine Euler_Explicito(Nx,Ny,Ti,Tf,dt,timef,sigma,q,theta,tout,flag,Res,
123    ntt)
124    implicit none
125    integer, intent(in) :: Nx,Ny,tout,ntt
126    real(8), intent(in) :: dt,timef,sigma,Ti(Ny,Nx),q,theta
127    real(8), intent(out) :: Tf(Ny,Nx),Res(ntt)
128    logical, intent(in) :: flag
129    integer :: i,j,nt,kk,ll,stat
130    real(8) :: T_old(Ny,Nx),T(Ny,Nx),time,T_est(Ny,Nx),q2,Calc_Residual
131    character(7) :: x1
132
133    nt = 0
134
135    T_old(:, :) = Ti(:, :)
136    time = 0
137    do while (time<timef)
138        do i=2,Nx-1
139            do j=2,Ny-1
140                T(j,i)=T_old(j,i)+sigma*(T_old(j,i-1)-2*T_old(j,i)+T_old(j,i
141                    +1))+sigma*(T_old(j-1,i)-2*T_old(j,i)+T_old(j+1,i))
142            end do
143        end do
144        do i=2,Nx-1
145            if (i.le.Ny) then
146                q2 = q
147            else
148                q2 = 0d0
149            end if
150            j=1
151            T(j,i)=T_old(j,i)+sigma*(T_old(j,i-1)-2*T_old(j,i)+T_old(j,i+1))+
152                sigma*(-2*T_old(j,i)+2*T_old(j+1,i)-q2*theta)

```

```

150         j=Ny
151         T(j,i)=T_old(j,i)+sigma*(T_old(j,i-1)-2*T_old(j,i)+T_old(j,i+1))+
            sigma*(-2*T_old(j,i)+2*T_old(j-1,i)-q2*theta)
152     end do
153
154     T(:,1) = 0
155     T(:,Nx) = 0
156
157     time = time + dt
158
159     ! Criterio estacionario
160     T_est = T - T_old
161     if (maxval(abs(T_est)).lt.0.0001) then
162         write(*,*) 'Estado estacionario, tiempo:', time
163         write(*,*) 'Max Temp:',maxval(T)
164         exit
165     end if
166
167     ! Criterio si imprimir cada tout
168     if (flag) then
169         if (mod(nt,tout)==0 .or. nt==0) then
170             write (x1,'(I7.7)') floor(time)
171             open(unit=20,file='eu_rtxt/t_eu'//trim(x1)//'.txt',iostat=stat
                ,action='write')
172             if(stat/=0) then
173                 write(*,*)'Error al abrir el archivo con iostat',stat
174             end if
175             do kk=1,ny
176                 write(20,*)(T(kk,1l), 1l=1,nx)
177             end do
178             close(unit=20,iostat=stat)
179         end if
180     end if
181
182     ! Residual
183     Res(nt+1) = Calc_Residual(Nx,Ny,T_old,T,sigma,dt)
184
185     nt = nt + 1
186     T_old(:, :) = T(:, :)
187 end do
188 Tf(:, :) = T_old(:, :)
189
190
191 end subroutine Euler_Explicito
192
193
194 !===== Crank Nicolson =====!
195
196 subroutine Crank_Nicolson(Nx,Ny,Ti,Tf,dt,timef,sigma,q,theta,tout,flag,Res,ntt
    )
197     implicit none
198     integer, intent(in) :: Nx,Ny,tout,ntt
199     real(8), intent(in) :: dt,timef,sigma,Ti(Ny,Nx),q,theta
200     real(8), intent(out) :: Tf(Ny,Nx),Res(ntt)
201     logical, intent(in) :: flag

```

```

202  integer :: Nv,nt,kk,ll,stat
203  character(7) :: x1
204  real(8) :: T_old(Ny,Nx),T(Ny,Nx),time,Calc_Residual,T_est(Ny,Nx)
205
206  real(8), allocatable, dimension(:) :: b_vec,T_vec
207  real(8), allocatable, dimension(:, :) :: A,A2
208
209  Nv = (Nx-2)*(Ny)
210  allocate(b_vec(Nv))
211  allocate(T_vec(Nv))
212  allocate(A(Nv,Nv))
213  allocate(A2(Nv,Nv))
214
215  ! Crear matriz
216  call create_mat(A,sigma,Nv,Nx,Ny)
217  write(*,*) 'Matrix created CN'
218
219  T_old(:, :) = Ti(:, :)
220  time = 0
221  nt = 0
222  do while (time<timef)
223      ! Create b_system
224      call b_system(T_old,b_vec,Nx,Ny,Nv,sigma,q,theta)
225      ! resolver sistema
226      call Gseid(A,b_vec,Nv,T_vec,300,1.0d-8,0.5d0)
227      ! vec to mat T
228      call vec_to_mat(T,T_vec,Nx,Ny,Nv)
229
230      time = time + dt
231
232      ! Criterio de estacionario
233      T_est = T - T_old
234      if (maxval(abs(T_est)).lt.0.0001) then
235          write(*,*) 'Estado estacionario, tiempo:', time
236          write(*,*) 'Max Temp:',maxval(T)
237          exit
238      end if
239
240      ! Criterio de imprimir cada tout
241      if (flag) then
242          if (mod(nt,tout)==0 .or. nt==0) then
243              write(x1,'(I7.7)') floor(time)
244              open(unit=20,file='cn_rtxt/t_eu'//trim(x1)//'.txt',iostat=stat
245                  ,action='write')
246              if(stat/=0) then
247                  write(*,*) 'Error al abrir el archivo con iostat',stat
248              end if
249              do kk=1,ny
250                  write(20,*)(T(kk,ll), ll=1,nx)
251              end do
252              close(unit=20,iostat=stat)
253          end if
254      end if
255
256      ! Residual

```

```

256     Res(nt+1) = Calc_Residual(Nx,Ny,T_old,T,sigma,dt)
257
258     nt = nt + 1
259     T_old(:, :) = T(:, :)
260 end do
261 Tf(:, :) = T_old(:, :)
262
263 end subroutine Crank_Nicolson
264
265
266 ! Funcion que calcula el residual en un paso
267 real(8) function Calc_Residual(Nx,Ny,Told,Tnew,sigma,dt)
268     implicit none
269     integer, intent(in) :: Nx,Ny
270     real(8), intent(in) :: Told(Ny,Nx),Tnew(Ny,Nx),sigma,dt
271     integer :: i,j
272     real(8) :: Res(Ny-2,Nx-2),rxy
273
274     do j=2,Ny-1
275         do i=2,Nx-1
276             Res(j-1,i-1)=(Tnew(j,i)-Told(j,i))/dt-(sigma/dt)*(Tnew(j,i-1)-4*
277                 Tnew(j,i)+Tnew(j,i+1)+Tnew(j-1,i)+Tnew(j+1,i))
278         end do
279     end do
280
281     rxy = 0.0d0
282     do j=1,Ny-2
283         do i=1,Nx-2
284             rxy = rxy + (1.0d0/((Nx-2)*(Ny-2)))*Res(j,i)**2
285         end do
286     end do
287
288     Calc_Residual = sqrt(rxy)
289 end function Calc_Residual
290
291
292 ! Creacion de matriz para CN
293 subroutine create_mat(A,sigma,Nv,Nx,Ny)
294     implicit none
295     integer, intent(in) :: Nv,Nx,Ny
296     real(8), intent(in) :: sigma
297     real(8), intent(out) :: A(Nv,Nv)
298     integer :: i,j,k,nxx,nyy
299     real(8) :: mu
300
301     nx = Nx-2
302     nyy = Ny
303     A = 0
304     mu = sigma/2.0d0
305
306     do j=1,nyy
307         do i=1,nxx
308             k = i + (j-1)*nxx
309             if (j==1) then

```

```

310         if (i==1) then
311             A(k,k) = 1 + 4*mu
312             A(k,k+1) = -mu
313         elseif (i==nxx) then
314             A(k,k) = 1 + 4*mu
315             A(k,k-1) = -mu
316         else
317             A(k,k) = 1 + 4*mu
318             A(k,k-1) = -mu
319             A(k,k+1) = -mu
320         end if
321         A(k,k+nxx) = -2*mu
322     elseif (j==nyy) then
323         if (i==1) then
324             A(k,k) = 1 + 4*mu
325             A(k,k+1) = -mu
326         elseif (i==nxx) then
327             A(k,k) = 1 + 4*mu
328             A(k,k-1) = -mu
329         else
330             A(k,k) = 1 + 4*mu
331             A(k,k-1) = -mu
332             A(k,k+1) = -mu
333         end if
334         A(k,k-nxx) = -2*mu
335     else
336         if (i==1) then
337             A(k,k) = 1 + 4*mu
338             A(k,k+1) = -mu
339         elseif (i==nxx) then
340             A(k,k) = 1 + 4*mu
341             A(k,k-1) = -mu
342         else
343             A(k,k) = 1 + 4*mu
344             A(k,k-1) = -mu
345             A(k,k+1) = -mu
346         end if
347         A(k,k-nxx) = -mu
348         A(k,k+nxx) = -mu
349     end if
350 end do
351 end do
352
353 end subroutine create_mat
354
355
356 ! Creacion de vector b para Ax=b en CN
357 subroutine b_system(T_mat,b_vec,Nx,Ny,Nv,sigma,q,theta)
358     implicit none
359     integer, intent(in) :: Nx,Ny,Nv
360     real(8), intent(in) :: T_mat(Ny,Nx),sigma,q,theta
361     real(8), intent(out) :: b_vec(Nv)
362     integer :: i,j,k
363     real(8) :: mu,q2
364

```

```

365     mu = sigma/2.0d0
366     k = 0
367     do j=1,Ny
368         do i=2,Nx-1
369             k = k + 1
370             if (i.le.Ny) then
371                 q2 = q
372             else
373                 q2 = 0
374             end if
375             if (j==1) then
376                 b_vec(k)=mu*T_mat(j,i+1)+(1.0d0-4.0d0*mu)*T_mat(j,i)+mu*T_mat(
377                     j,i-1)+2.0d0*mu*T_mat(j+1,i)-2*mu*q2*theta
378             else if (j==Ny) then
379                 b_vec(k)=mu*T_mat(j,i+1)+(1.0d0-4.0d0*mu)*T_mat(j,i)+mu*T_mat(
380                     j,i-1) + 2.0d0*mu*T_mat(j-1,i)-2*mu*q2*theta
381             else
382                 b_vec(k) = mu*T_mat(j,i+1) + (1.0d0-4.0d0*mu)*T_mat(j,i) + mu*
383                     T_mat(j,i-1) + mu*T_mat(j+1,i)+mu*T_mat(j-1,i)
384             end if
385         end do
386     end do
387 end subroutine b_system
388
389 ! Paso del vector solucion a matriz de temperaturas en CN
390 subroutine vec_to_mat(T_mat,T_vec,Nx,Ny,Nv)
391     implicit none
392     integer, intent(in) :: Nx,Ny,Nv
393     real(8), intent(in) :: T_vec(Nv)
394     real(8), intent(out) :: T_mat(Ny,Nx)
395     integer :: i,j,k
396
397     T_mat = 0.0d0
398     k = 0
399     do j=1,Ny
400         do i=2,Nx-1
401             k = k + 1
402             T_mat(j,i) = T_vec(k)
403         end do
404     end do
405 end subroutine vec_to_mat
406
407 !===== Calcular Flujo de Calor =====!
408 ! Utiliza diferencias centradas en nodos interiores y adelantadas o atrasadas
409     en bordes.
410
411 subroutine Calculate_Heat(Nx,Ny,T,qn,theta,qw,qxx,qyy)
412     implicit none
413     integer, intent(in) :: Nx,Ny
414     real(8), intent(in) :: theta,T(Ny,Nx),qw
415     real(8), intent(out) :: qn(Ny,Nx),qxx(Ny,Nx),qyy(Ny,Nx)
416     integer :: i,j

```

```

416     real(8) :: qx,qy,qq(Ny,Nx)
417
418     qq = 0
419     do i=2,Nx-1
420         do j=2,Ny-1
421             qx = (1d0/theta)*(T(j,i+1)-T(j,i-1))
422             qy = (1d0/theta)*(T(j+1,i)-T(j-1,i))
423             qq(j,i) = sqrt(qx**2+qy**2)
424             qxx(j,i) = qx
425             qyy(j,i) = qy
426         end do
427     end do
428     do i=2,Nx-1
429         if (i.lt.Ny) then
430             qx = (1d0/theta)*(T(1,i+1)-T(1,i-1))
431             qy = qw
432         else
433             qx = (1d0/theta)*(T(1,i+1)-T(1,i-1))
434             qy = 0
435         end if
436         qq(1,i) = sqrt(qx**2+qy**2)
437         qxx(1,i) = qx
438         qyy(1,i) = qy
439     end do
440     do i=2,Nx-1
441         if (i.lt.Ny) then
442             qx = (1d0/theta)*(T(Ny,i+1)-T(Ny,i-1))
443             qy = -qw
444         else
445             qx = (1d0/theta)*(T(Ny,i+1)-T(Ny,i-1))
446             qy = 0
447         end if
448         qq(Ny,i) = sqrt(qx**2+qy**2)
449         qxx(Ny,i) = qx
450         qyy(Ny,i) = qy
451     end do
452     do j=2,Ny-1
453         qx = (1d0/theta)*(-3*T(j,1)+4*T(j,2)-T(j,3))
454         qy = (1d0/theta)*(T(j+1,1)-T(j-1,1))
455         qq(j,1) = sqrt(qx**2+qy**2)
456         qxx(j,1) = qx
457         qyy(j,1) = qy
458     end do
459     do j=2,Ny-1
460         qx = (1d0/theta)*(3*T(j,Nx)-4*T(j,Nx-1)+T(j,Nx-2))
461         qy = (1d0/theta)*(T(j+1,Nx)-T(j-1,Nx))
462         qq(j,Nx) = sqrt(qx**2+qy**2)
463         qxx(j,1) = qx
464         qyy(j,1) = qy
465     end do
466     qn(:, :) = qq(:, :)
467 end subroutine Calculate_Heat
468
469 ! Metodo de Gauss Seidel con relajacion
470 subroutine Gseid(a_mat,b2,n,x,imax,es,lambd)

```

```

471  implicit none
472  integer, intent(in) :: n,imax
473  real(8), intent(in) :: a_mat(n,n),b2(n),es,lambda
474  real(8), intent(out) :: x(n)
475  integer :: iter,centinela,i,j
476  real(8) :: a(n,n),b(n),dummy,sum,old,ea
477
478  a = a_mat
479  b = b2
480
481  do i=1,n
482      dummy = a(i,i)
483      do j=1,n
484          a(i,j) = a(i,j)/dummy
485      end do
486      b(i) = b(i)/dummy
487  end do
488  do i=1,n
489      sum = b(i)
490      do j=1,n
491          if(i.ne.j) then
492              sum = sum - a(i,j)*x(j)
493          end if
494      end do
495      x(i) = sum
496  end do
497  iter = 1
498  do while(.true.)
499      centinela = 1
500      do i=1,n
501          old = x(i)
502          sum = b(i)
503          do j=1,n
504              if(i.ne.j) then
505                  sum = sum - a(i,j)*x(j)
506              end if
507          end do
508          x(i) = lambda*sum + (1-lambda)*old
509          if (centinela == 1 .and. x(i) .ne.0 ) then
510              ea = abs((x(i)-old)/x(i))*100
511              if (ea.gt.es) then
512                  centinela = 0
513              end if
514          end if
515      end do
516      iter = iter + 1
517      if (centinela==1 .or. iter.ge.imax) then
518          exit
519      end if
520  end do
521
522  end subroutine Gseid
523
524
525  ! Para escribir archivo salida

```



```

526 subroutine WriteFile(nx,ny,T,file,flag,dir)
527   implicit none
528   integer, intent(in) :: nx,ny
529   character(25), intent(in) :: file
530   character(8), intent(in) :: dir
531   logical, intent(in) :: flag
532   integer :: i,j,stat
533   real(kind=8), intent(in) :: T(ny,nx)
534
535   open(unit=20,file=dir//file,iostat=stat,action='write')
536
537   if(stat/=0) then
538     write(*,*)'Error al abrir el archivo con iostat',stat
539   end if
540
541   do j=1,ny
542     write(20,*)(T(j,i), i=1,nx)
543   end do
544   close(unit=20,iostat=stat)
545
546   if(stat/=0) then
547     write(*,*)'Error al cerrar el archivo con iostat',stat
548   end if
549
550   if (flag) then
551     write(*,*) "Archivo Guardado: "//file
552   end if
553
554 end subroutine WriteFile
555
556 ! Para escribir archivo de salida
557 subroutine WriteFile2(nt,V,file,flag,dir)
558   implicit none
559   integer, intent(in) :: nt
560   character(25), intent(in) :: file
561   character(8), intent(in) :: dir
562   logical, intent(in) :: flag
563   integer :: j,stat
564   real(kind=8), intent(in) :: V(nt)
565
566   open(unit=20,file=dir//file,iostat=stat,action='write')
567
568   if(stat/=0) then
569     write(*,*)'Error al abrir el archivo con iostat',stat
570   end if
571
572   do j=1,nt
573     write(20,*)(V(j))
574   end do
575   close(unit=20,iostat=stat)
576
577   if(stat/=0) then
578     write(*,*)'Error al cerrar el archivo con iostat',stat
579   end if
580

```

```

581     if (flag) then
582         write(*,*) "Archivo Guardado: "//file
583     end if
584
585 end subroutine WriteFile2

```

Código 2: Programa para leer archivos exportados del programa y crear las gráficas.

```

1
2 import os
3 import numpy as np
4 import pandas as pd
5 import matplotlib.pyplot as plt
6 plt.rcParams['figure.dpi'] = 200
7 plt.rcParams['savefig.dpi'] = 200
8
9
10 # Grafico de temperatura -----
11
12 T = pd.read_csv("results/Results_T_eu.txt", header=None, delim_whitespace=True
13 )
14 Lx = 2
15 Ly = 1
16 Ny,Nx = T.shape
17
18 x = np.linspace(0,Lx,Nx)
19 y = np.linspace(0,Ly,Ny)
20
21 X,Y = np.meshgrid(x,y)
22
23 fig0, ax0 = plt.subplots(1, 1, )
24 cf0 = ax0.contourf(X,Y,T,np.arange(0, 80, .1), cmap="hot")
25 cbar0 = plt.colorbar(cf0,)
26
27 cbar0.set_label('Temperatura [ C ]')
28 fig = plt.gcf()
29 fig.set_size_inches(8, 4)
30
31 name = 'Temperature'
32 path_dir = os.path.join(os.getcwd(),name+'.png')
33 fig.savefig(path_dir)
34
35 # Grafico de flujo de calor -----
36
37 q = pd.read_csv("results/Results_q_eu.txt", header=None, delim_whitespace=True
38 )
39 qx = pd.read_csv("results/Results_qx_eu.txt", header=None, delim_whitespace=
40 True)
41 qy = pd.read_csv("results/Results_qy_eu.txt", header=None, delim_whitespace=
42 True)
43
44 Lx = 2
45 Ly = 1
46 Ny,Nx = q.shape

```

```

44
45 x = np.linspace(0,Lx,Nx)
46 y = np.linspace(0,Ly,Ny)
47 X,Y = np.meshgrid(x,y)
48
49 plt.contourf(X,Y,q/1000,300, cmap="hot")
50 cbar = plt.colorbar()
51 plt.quiver(X,Y,qx*100,qy*100,color='k')
52 fig = plt.gcf()
53 cbar.set_label('Flujo calor [kW/m2]')
54 fig = plt.gcf()
55 fig.set_size_inches(8, 4)
56 plt.show()
57 name = 'heat'
58 plt.savefig(os.path.join(os.getcwd(),name+'.png'))
59
60
61 # Grafico de parte simetrica -----
62
63 T_b = np.zeros(Nx+Nx+Ny-2)
64 k = -1
65 Tx = T.to_numpy()
66
67 T_b[:Nx] = Tx[0,:]
68 T_b[Ny//2+Nx+1:Ny//2+Nx+Nx] = Tx[Ny//2,-1:0:-1]
69 kk = 0
70 T2 = np.zeros(Nx+Nx+Ny-2+Ny//2)
71 for k in range(len(T_b)-1,0,-1):
72     T2[kk] = T_b[k]
73     kk = kk+1
74
75 l1 = np.linspace(0,5,253)
76 plt.plot(l1,T2[Ny//2-2:],linewidth=1,color='k', label='Temperatura')
77 plt.grid()
78 plt.legend(loc='upper left')
79 plt.xlabel('L [m]')
80 plt.ylabel('T [ C ]')
81 plt.ylim([-1,80])
82 fig = plt.gcf()
83 fig.set_size_inches(6, 4)
84 plt.show()
85 name = 'tsym'
86 plt.savefig(os.path.join(os.getcwd(),name+'.png'))

```